

КОМБИНАЦИОННОЕ РАССЕЯНИЕ СВЕТА НА ОПТИЧЕСКИХ ФОНОНАХ В Si-Ge-Si-СТРУКТУРАХ С КВАНТОВЫМИ ТОЧКАМИ

А.Б.Талочкин¹⁾, В.А.Марков, С.П.Супрун, А.И.Никифоров

Институт физики полупроводников Сибирского отделения РАН

630090 Новосибирск, Россия

Поступила в редакцию 11 июля 1996 г.

Исследовано комбинационное рассеяние света на оптических фононах в Si-Ge-Si-структуратах с псевдоморфными квантовыми точками германия. Наблюдалось резонансное усиление интенсивности рассеяния на E_0 (Γ_7 - Γ_8)-переходах. Показано, что энергия резонанса возрастает на ~ 0.3 эВ по сравнению с двумерным случаем в результате образования слоя квантовых точек германия.

PACS: 72.15.Rn

Интерес к получению и исследованию полупроводниковых квантовых точек (QD) обусловлен появлением в них новых особенностей электронного спектра, которые не наблюдаются в системах более высокой размерности ($3D$, $2D$ и $1D$). В результате квантования движения носителей во всех направлениях спектр становится дискретным с δ -образной функцией плотности состояний, а также может существенно возрастать энергия связи экситона и сила осциллятора для межзонных переходов [1, 2]. Интенсивно исследуются полупроводниковые QD , полученные методом молекулярно-лучевой эпитаксии (МЛЭ) в системах InAs-GaAs, Ge-Si и др. Так, электронные переходы наблюдались в спектрах люминесценции [3, 4], эффекты, связанные с протеканием тока через состояния QD исследовались в работах [5, 6]. В данной работе исследовано комбинационное рассеяние света (КРС) на оптических фононах в Si-Ge-Si-структуратах, в которых псевдоморфные QD были получены в процессе МЛЭ. Наблюдение резонансного усиления при КРС на оптических фононах позволило определить энергию прямых зона-зонных переходов в QD и ее изменение по сравнению с двумерным случаем.

В результате значительной разницы постоянных решеток Ge и Si ($\Delta a = 4\%$) псевдоморфный двумерный рост Ge на Si при МЛЭ сохраняется до критической толщины пленки германия h_c . По достижению этого значения механические напряжения частично релаксируют за счет введения дислокаций несответствия, а далее происходит самосогласованный рост трехмерных островков (QD) по механизму Странского-Крастанова [4]. Обычно Ge QD получают при температурах Si-подложки $T_s = 500 \div 700^\circ\text{C}$, для которых h_c составляет $2 \div 4$ моноатомных слоя (ml) и характерный размер срелаксированных QD в плоскости подложки $\sim 1000 \text{ \AA}$ [4, 7]. В данной работе были получены QD Ge в псевдоморфном состоянии существенно меньших размеров ($\sim 100 \text{ \AA}$). Это достигалось понижением температуры роста T_s до $200 \div 300^\circ\text{C}$. С понижением T_s возрастает h_c (в нашем случае до $10 \div 15$ ml, 1ml = 1.3 \AA) и резко уменьшается диффузионная длина адатомов германия, что обеспечивает образование

¹⁾e-mail: shumsky@ispht.nsk.su

трехмерных псевдоморфных островков Ge на начальных стадиях роста. Исследованные Si–Ge–Si-структуры выращивались в МЛЭ установке на подложках кремния с ориентацией (001). После предварительной химической обработки подложки помещались в ростовую камеру, где проводилась их очистка при температуре 800 °С в слабом потоке Si в течение 15 минут. В результате очистки образуется атомарно-чистая поверхность со сверхструктурой (2 × 1). Затем выращивался буферный слой Si толщиной 1000 Å. Потоки Si и Ge создавались электронно-лучевыми испарителями, обеспечивающими характерную скорость роста 5 Å/мин. В процессе роста Ge наблюдались до 4 осцилляций зеркального рефлекса дифракции быстрых электронов, в момент перехода к трехмерному росту осцилляции исчезают. После нанесения германия структура покрывалась слоем Si толщиной 100 Å. Полученные образцы представляли собой ступенчатые структуры с различной эффективной толщиной Ge, которая получалась с помощью заслонки, вводимой в поток Ge в процессе роста. Эффективная толщина Ge изменялась в диапазоне 0 ÷ 40 ml с шагом 2 ÷ 4 ml для малых толщин и 10 ml для больших (> 20 ml). Размеры QD в полученных структурах оценивались с помощью электронной микроскопии (ЭМ) высокого разрешения [5].

Спектры КРС на оптических фонах возбуждались линиями Ar-лазера при температурах 77 и 300 K и регистрировались с помощью спектрометра ДФС-52. На рис.1 представлены спектры КРС Si–Ge–Si-структур с различной эффективной толщиной слоя Ge ($T_c = 200^\circ\text{C}$). Линия 305 cm^{-1} обусловлена рассеянием второго порядка на TA-фонах Si, она присутствует с одинаковой интенсивностью во всех спектрах. Начиная с толщины 5 ÷ 6 ml (рис.1), в спектре наблюдается линия (316 cm^{-1}), связанная с рассеянием на оптических фонах Ge. Частота фона линейно зависит от деформации германия. Объемное значение показано на рис.1 стрелкой. Наблюдаемый сдвиг частоты оптического фона относительно объемного значения (16 cm^{-1}) соответствует двуосной деформации Ge равной 4% или давлению ~ 50 кбар. Из рис.1 видно, что Ge находится в псевдоморфном состоянии для толщин 6, 8 и 12 ml. Начиная с 15 ml, наблюдается релаксация, то есть фоновая линия смещается в низкочастотную область, а при 20 ml в спектре (рис.1) проявляется линия, частично срелаксированного Ge и псевдоморфная фаза уже отсутствует. Из рис.1 видно, что интенсивность рассеяния резко зависит от эффективной толщины, в то время как механические напряжения Ge не изменяются. Наблюдаемые особенности обусловлены изменением электронного спектра в зависимости от размера QD.

Нами исследованы резонансные зависимости КРС на оптических фонах с использованием дискретных линий Ar-лазера в диапазоне энергий возбуждающего света $2.4 \div 2.6 \text{ эВ}$. Эти зависимости представлены на рис.2 для образцов Si–Ge–Si-структур с эффективной толщиной Ge – 6, 8 и 12 ml. По вертикальной оси отложена интенсивность КРС, отнесенная к единице рассеивающего объема. Сплошные кривые, показанные на рис.2, проведены через экспериментальные точки. Видно, что зависимости, полученные для образцов с QD (a и b) имеют резонансный характер. Максимум для одного расположен при $\hbar\omega = 2.5 \text{ эВ}$, для другого – сдвинут в высокочастотную область. Для третьего образца (рис.2c) квантовые точки смыкаются в сплошной слой Ge и резонансная зависимость в области $2.4 \div 2.6 \text{ эВ}$ проявляет характерный спад, соответствующий пику при $\hbar\omega < 2.4 \text{ эВ}$.

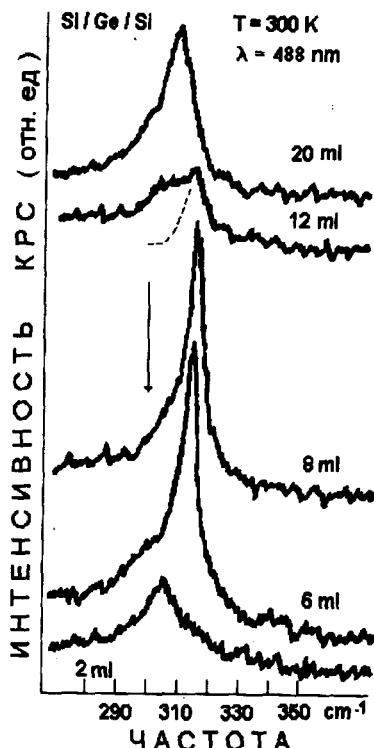


Рис.1. Спектры комбинационного рассеяния света на оптических фонарах в Si-Ge-Si-структурах с эффективной толщиной германия 2, 6, 8, 12 и 20 моноатомных слоев

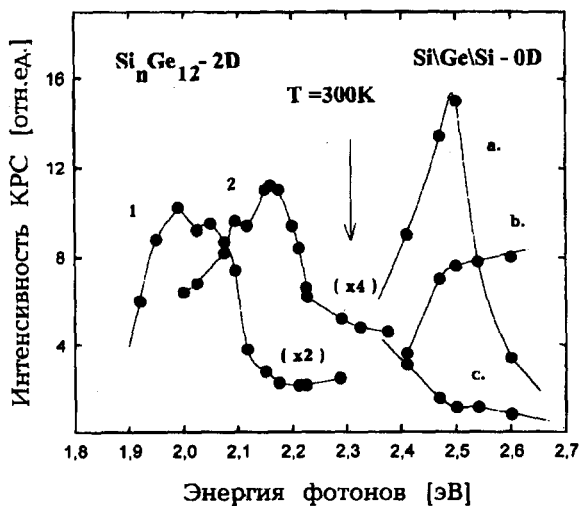


Рис.2. Резонансные зависимости КРС на оптических фонарах Si-Ge-Si-структур с различной эффективной толщиной слоя германия: а - 8 ml, б - 6 ml, в - 12 ml. Резонансные зависимости КРС на оптических фонарах Ge 1 и 2, полученные от сверхрешеток $\text{Si}_n\text{Ge}_{12}$ (1 - $n = 4$ ml, 2 - $n = 12$ ml) в работе [8]

На рис.2 приведены также резонансные зависимости для оптических фонаров Ge, полученные от сверхрешеток $\text{Si}_n\text{Ge}_{12}$ (для кривой 1 - $n = 4$ ml, для кривой 2 - $n = 12$ ml) в работе [8]. Эти зависимости сшивались с нашими данными по интенсивности КРС на объемном Ge (100), приведенной в [8] для $\lambda = 514$ нм. Интенсивность нормировалась на единицу длины рассеяния $(2\alpha)^{-1} = 250 \text{ \AA}$, где a - коэффициент поглощения Ge для возбуждающего света. Первый образец имеет ненапряженные слои Ge, деформация которого во втором составляет 2%. В [8] показано, что наблюдаемый резонанс связан с E_0 -краем прямыми переходами из валентной зоны (Γ_8) в зону проводимости (Γ_7), причем электронные (дырочные) состояния локализованы в слоях Ge. Энергия E_0 -края в объемном Ge составляет 0.9 эВ, в 2D-случае энергия Γ_7 состояния растет из-за квантования движения электронов вдоль оси сверхрешетки (рис.2, кривая 1, 2). Вклад в изменение E_0 -края дает в основном сдвиг электронного состояния (Γ_7), смещение же дырочного уровня примерно на порядок меньше из-за разницы эффективных масс электронов и дырок ($m_e = 0.04m_0$, $m_h = 0.37m_0$, где m_0 - масса свободного электрона). В результате деформации в 2% E_0 -край сдвигается на 0.15 эВ (рис.2, кривая 2). Отсюда положение мак-

сумма резонансной зависимости в случае 2D псевдоморфного Ge (деформация 4%) должно составлять 2.3 эВ. Это положение отмечено на рис.2 стрелкой. Из вида приведенных на рис.2 резонансных зависимостей (кривая 1, 2) следует, что вблизи E_0 -края в КРС доминируют вклады от трехзонных процессов (см., например, [9]). Это означает, что положение E_0 -края находится по энергии на $0.05 \div 0.1$ эВ ниже максимума резонансной зависимости.

Наблюдаемые особенности в резонансных зависимостях для образцов с QD (рис.2, a и b) связаны с E_0 -краем, энергия которого растет по сравнению с 2D-случаем в результате квантования движения электронов в остальных двух направлениях x и y . Сдвиг для образца a составляет $0.25 \div 0.3$ эВ. По оценкам ЭМ в этой структуре QD имеют характерные размеры: высота $d_z \sim 30$ Å, размер в плоскости $d_x = d_y \sim 8 \div 100$ Å. Рассмотрим положение уровня Γ_7 в простейшей модели QD – "ящик с бесконечными стенками". Система энергетических уровней частицы с массой m определяется выражением [10]:

$$E = E^{2D} + E^{0D} = (\pi^2 \hbar^2 / 2m)(n_1/d_z)^2 + (\pi^2 \hbar^2 / 2m)[(n_2/d_x)^2 + (n_3/d_y)^2], \quad (1)$$

где n_1, n_2, n_3 – целые числа. Для основного состояния $n_1 = n_2 = n_3 = 1$. Первый член определяет сдвиг энергии при переходе от объемного состояния к двумерному (2D), второй – от 2D к 0D. Как показали теоретические расчеты [11] и эксперимент [8], из-за влияния электронных состояний Si и границы раздела Si-Ge зависимость E^{2D} от d_z существенно отличается от (1) для $d_z < 20$ м.н. Экспериментальное положение E^{2D} слабо зависит от d_z в диапазоне $6 < d_z < 15$ м.н. Отсюда для нашего случая можно считать $E^{2D} = 2.2 \div 2.25$ эВ. В то же время, результаты расчета и эксперимент [8] для $d_z > 25$ м.н. совпадают со сдвигом, полученным с помощью выражения (1). Поэтому, для QD Ge не слишком малого размера (d_x, d_y) второй член E^{0D} в выражении (1) может быть достаточно хорошим приближением. Согласно (1), наблюдаемый сдвиг $E^{0D} = 0.25 \div 0.3$ эВ соответствует $d_x = d_y = 80 \div 90$ Å. Это значение вполне согласуется с данными ЭМ. Для второго образца (рис.2b) резонансная зависимость имеет вдвое меньшую амплитуду и максимум расположен в районе 2.6 эВ. Этому положению, согласно (1), соответствует размер QD $d_x = d_y = 70$ Å. Соотношение между размерами QD для образцов a и b согласуется с эффективной толщиной слоев Ge.

Обращает на себя внимание поведение амплитуды резонансных зависимостей. Из рис.2 видно, что при уменьшении размера QD амплитуда падает вдвое с изменением формы резонансной зависимости. Возможная причина этого состоит в том, что для большей части QD из распределения по размерам образца a выполняется условие двойного резонанса. Энергия возбуждающего (входной канал) и рассеянного (выходной канал) света совпадает с энергией прямых переходов. Это условие выполняется, когда расщепление между дырочными уровнями пространственного квантования равно энергии фона и основной вклад в КРС дают трехзонные процессы, для которых переходы между ними происходят с испусканием фона. Расстояние по энергии между дырочными уровнями с $n_1 = n_2 = n_3 = 1$ и $n_1 = n_2 = 1, n_3 = 2$, согласно (1), для $d_x = d_y = 80 \div 90$ Å (образец a) составляет $\Delta_h = 37 \div 45$ мэВ, энергия же оптического фона равна 40 мэВ. Отметим, что разрыв уровней валентных зон Si и псевдоморфного Ge составляет 0.5 эВ [11] и учет в (1) такой величины потенциального барьера для дырок Ge приводит к несущественным энергетическим поправкам. Для второго образца (рис.2b) $\Delta_h = 60$ мэВ. Большая часть

QD для него не удовлетворяет условию двойного резонанса и интенсивность КРС на них падает по сравнению с первым, в то же время незначительная часть QD в распределении с $\Delta_h = 40$ мэВ может давать вклад в резонансную зависимость, сопоставимый с основной частью QD . Этот вклад должен приводить к уширению резонансной зависимости в низкочастотную область, что и наблюдается экспериментально (рис.2б). В результате, учет спектра дырочных состояний QD позволяет объяснить изменение формы наблюдаемых резонансных зависимостей.

Таким образом, обнаруженные особенности в резонансных зависимостях КРС на оптических фононах позволяют определять характерные размеры квантовых точек в Si-Ge-Si-структуратах по сдвигу энергии E_0 резонанса.

Работа выполнена в рамках Российской государственной программы "Поверхностные атомные структуры" (проект 95-2.19), а также при поддержке проекта 129-57-2 ГНТП "Перспективные технологии микро- и наноэлектроники".

-
1. M.Grundman, J.Christen, N.N.Ledentsov et al., *Phys. Rev. Lett.* **74**, 4043 (1995).
 2. E.L.Ivchenko, A.V.Kavokin, V.P.Kochereshko et al., *Superlattices Microstruct.* **12**, 317 (1992).
 3. М.В.Максимов, А.Ю.Егоров, А.Е.Жуков и др., *ФТП* **28**, 1046 (1994).
 4. P.Schittenhelm, M.Gail, and G.Abstreiter, *J. Cryst. Growth* **157**, 260 (1995).
 5. A.I.Yakimov, V.A.Markov, A.V.Dvurechenetskii, and O.P.Pchelyakov, *J. Phys. C* **6**, 2573 (1994).
 6. А.И.Якимов, В.А.Марков, А.В.Двуреченский, О.П.Пчеляков, Письма в ЖЭТФ **63**, 423 (1996).
 7. H.Sunamura, S.Fukatsu, N.Usami, and Y.Shiraki, *J. Cryst. Growth* **157**, 265 (1995).
 8. R.Shorer, G.Abstreiter, H.Kibel, and H.Presting, *Phys. Rev. B* **50**, 16211 (1994).
 9. M.Кардона, Г.Гюнтеродт, *Рассеяние света в твердых телах*, ч.2, М.: Мир, 1984 (*Light Scattering in Solids II*, Ed. M.Cardona, G.Guntherodt, Springer-Verlag, Berlin-Heidelberg-New York, 1982).
 10. Л.Д.Ландау, Е.М.Лифшиц, *Квантовая механика*, М.: Наука, 1974.
 11. S.Froyen, D.M.Wood, and A.Zunger, *Phys. Rev. B* **37**, 6893 (1988).